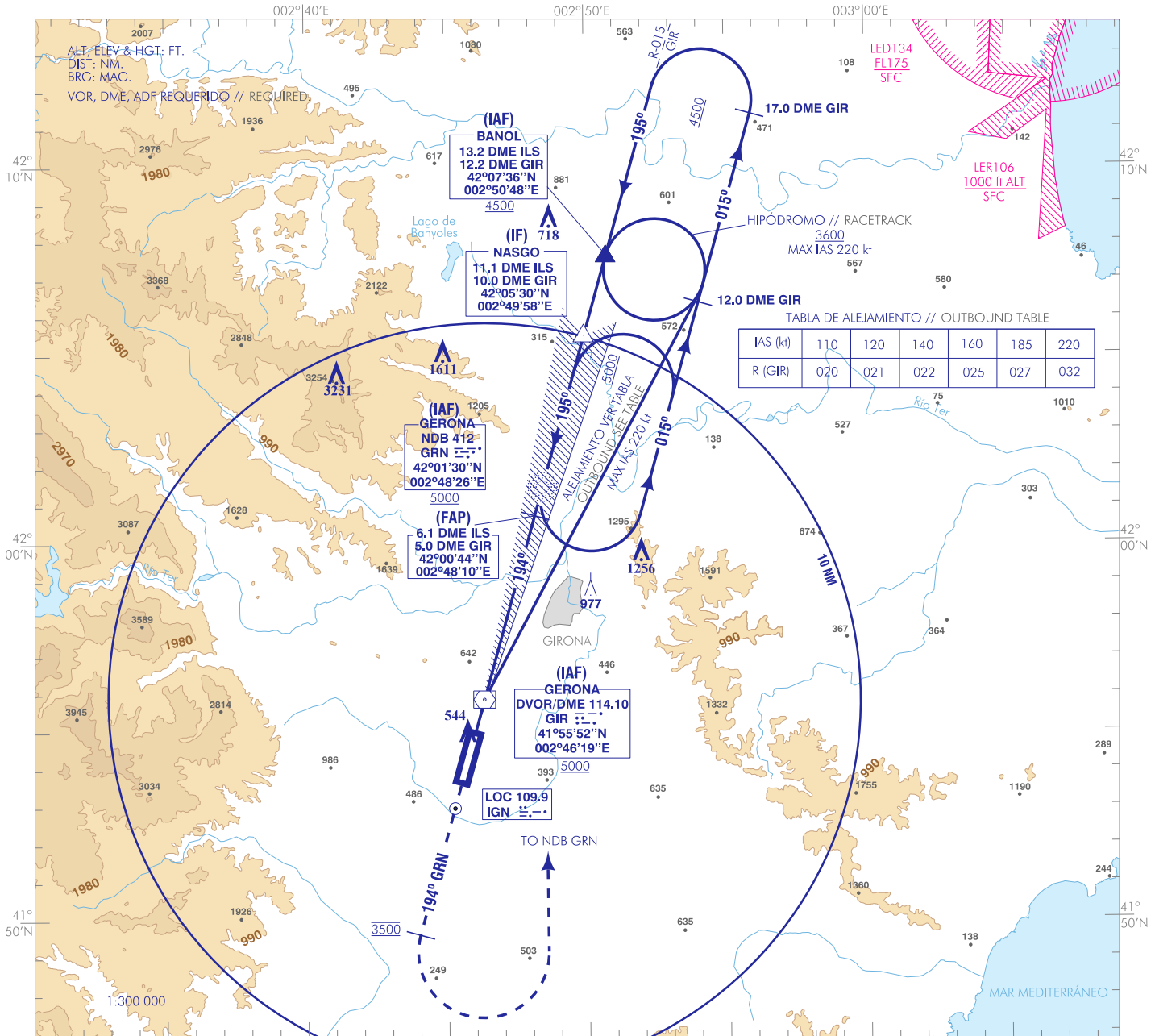


CARTA DE APROXIMACIÓN
POR INSTRUMENTOS-OACI

ELEV AD
469
VAR 1°E (2020)

APP 120.905 C
TWR 118.505 C
GMC 121.705 C
ATIS 128.755 C

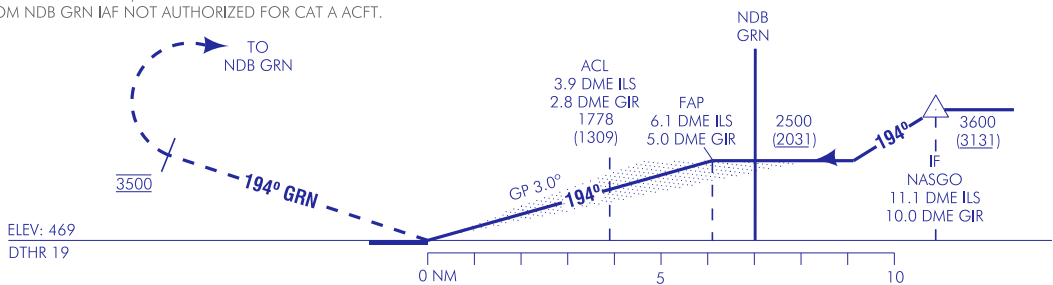
GIRONA
ILS Y
RWY 19



FRUSTRADA: SUBIR EN RUTA MAGNÉTICA 194° NDB GRN HASTA ALCANZAR 3500 AMSL. VIRAR A LA IZQUIERDA DIRECTO AL NDB GRN ASCIENDIENDO A 5000 PARA INTEGRARSE A LA ESPERA.
MISSED APCH: CLIMB ON MAGNETIC TRACK 194° NDB GRN UP TO REACH 3500 AMSL. TURN LEFT DIRECT TO NDB GRN CLIMBING UP TO 5000 TO JOIN THE HOLDING.

- NOTAS:
- PROHIBIDO VIRAR ANTES DEL THR.
 - HIPÓDROMO NO OMNIDIRECCIONAL, ENTRADA RESTRINGIDA AL RUMBO DE ACERCAMIENTO.
 - TRAMO INICIAL DESDE IAF NDB GRN NO AUTORIZADO PARA ACFT DE CAT A.

- NOTES:
- TURNS BEFORE THR ARE NOT PERMITTED.
 - RACETRACK NON OMNIDIRECTIONAL, ENTRY RESTRICTED TO THE INBOUND TRACK.
 - INITIAL SEGMENT FROM NDB GRN IAF NOT AUTHORIZED FOR CAT A ACFT.

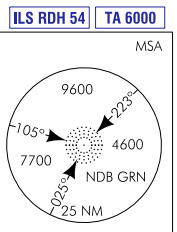


HGT REF ELEV DTHR 19

OCA/H		A	B	C	D
STA	CAT I	691 (222)	703 (234)	711 (242)	722 (253)
	CAT II	(135)	(152)	(164)	(178)
En círculo (H) sobre Circling (H) over 469		1090 (630)	1390 (930)	1590 (1130)	2130 (1670)

GS	kt	80	100	120	140	160	180
FAP-THR: 6.1 NM	min:s	4:35	3:40	3:03	2:37	2:17	2:02
FAP-MAPT:	min:s						
ROD: 5.2 %	ft/min	425	531	637	743	849	955

ALT/HGT DME (ILS) FNA												
13	12	11	10	9	8	7	6	5	4	3	2	1
									1820	1490	1170	850
								(2000)	(1670)	(1350)	(1020)	(700)



CAMBIOS: FRECUENCIAS, COORD DVOR EN LUGAR DEL DME. CHANGES: FREQUENCIES, COORD DVOR INSTEAD OF DME.

GIRONA AD

REQUISITOS DE LA BASE DE DATOS AERONÁUTICA
 AERONAUTICAL DATABASE REQUIREMENTS

PROCEDIMIENTOS DE APROXIMACIÓN POR INSTRUMENTOS // INSTRUMENT APPROACH PROCEDURES

ILS Y RWY 19

PUNTO POINT	LAT	LONG	AZIMUT VERDADERO TRUE BEARING	DISTANCIA DME DME DISTANCE (NM)
BANOL (IAF)	42°07'36.3"N	002°50'48.3"E	015.92° (GIR)	12.19 DME GIR
NDB GRN (IAF)	42°01'29.9"N	002°48'26.0"E	-	-
DVOR/DME GIR (IAF)	41°55'52.5"N	002°46'18.7"E	-	-
NASGO (IF)	42°05'29.8"N	002°49'58.4"E	015.78° (LOC IGN)	11.05 DME ILS
FAP	42°00'44.2"N	002°48'09.8"E	015.78° (LOC IGN)	6.10 DME ILS
Aproximación final de precisión - Pendiente (Ángulo de descenso) // Precision final approach - Slope (Descent angle)				5.24% (3.00°)

